

## 高速道路合流部の交通流モデル (4)

京都大学工学部 正員 明神 証  
 大阪市役所 正員。多田英司  
 神戸製鋼所 杉井謙一

## 1. まえがき

高速道路の合流部は ランプと本線との合流部（ランプ合流部）と本線同志の合流部（本線合流部）とに大別される。ランプ合流部についての研究は、待ち行列の理論の応用やシミュレーションによるものなど数多くなされてきたが、本線合流部についての研究例はあまりみあたらぬようである。本線合流部は、通常 滝方型合流部とY型合流部に分けられる。本文は、この側方型合流部の交通流に対して、圧縮性流体とのアナロジーによってモデル化しようとするものである。

## 2 側方型合流モデル

図-1のような側方型合流部についてつぎの諸量を考える。

$q_i(x, t)$ : 断面  $x$ 、時刻  $t$  における交通量

$\rho_i(x, t)$ : " " 単位巾あたり密度

$u_i(x, t)$ : " " 速度

$P_i(x, t)$ : " " 単位巾あたり圧力,  $b_i(x, t)$ : 断面  $x$  の巾員。ただし、 $i = 1, 2$  であり それぞれ合流区間の下側、上側車線を示す。また、ノースから下流に向かって  $x$  軸標をとる。

合流区間ににおいて、車線1の交通量は車線2へ移るわけであるが、このため車線2の交通流は減速させられるであろう。この現象を説明するためつぎの2つの量を追加する。

$q_{12}(x, t)$ : 断面  $x$ 、時刻  $t$  における車線1から2への移行交通量で、図-2に示す向きを正とする。

$\tau(x, t)$ :  $q_{12}(x, t)$  によって車線2の流れに作用すると考える仮想の力で 図-3に示す向きを正とする。

さて、圧力  $P_i$  については、 $P_i = \alpha \rho_i^n$  なる仮定をおく。また、 $q_{12}$  および  $\tau$  については、側方型合流部の性質上、 $\rho$  と  $u$  の値にかかわらず常に正でなければならない。 $q_{12}$  が零のときは、 $q_{12}$ 、 $\tau$  は零となることは当然である。そこでつぎのようない形を仮定する。

$$q_{12}(x, t) = \beta \rho_1(x, t) \quad (1)$$

$$\tau(x, t) = \eta q_{12}(x, t) u_2(x, t) \left\{ 1 - \frac{u_1(x, t)}{u_2(x, t)} \right\}^2 \quad (2)$$

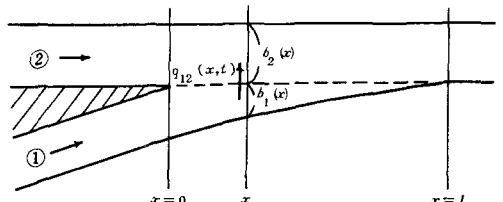


図-1

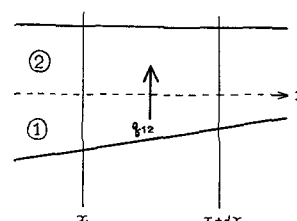


図-2

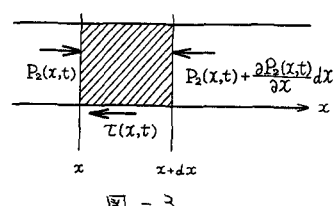


図-3

$\alpha$ ,  $\beta$ ,  $\eta$  および  $\rho$  は定数である。 $\rho_{12}$  は車線 1 の密度のみに比例するという単純なものであるが、本線同志の合流ということを考えるとこのような形も妥当ではないかと思われる。しかし、合流区間すべてにおいて一定の割合で移行するということはあまり現実に合わないと考えられるので、さらにこの形を変えて位置  $x$  に関するても変化するようなつぎのようないくつかの形を仮定する。

$$\rho_{12}(x, t) = \beta(x/L) \rho_1(x, t) \quad \text{し: 合流区間長} \quad (3)$$

またてについては、移行交通量が大きいほど、そして車線 1 と 2 の速度に差があればあるほど大きくなるということから式(2)を仮定したものである。 $\eta = 1$  とし、式(2)と(3)を用いて連続方程式、運動方程式から、定常流を考えるとつぎのようになる。

$$\left. \begin{aligned} \frac{d\rho_1}{dx} &= \frac{\rho_1}{b_1} \left[ -\frac{db_1}{dx} + \frac{\theta \{\eta (\rho_2 - \rho_1)^2 + U_1 U_2\}}{\rho_2 (1 - \rho_1^2)} \right], \quad \frac{dU_1}{dx} = \frac{\theta \{\eta (\rho_2 - \rho_1)^2 + U_2\}}{b_1 \rho_2 (1 - \rho_1^2)} \\ \frac{d\rho_2}{dx} &= \frac{\rho_2}{b_2} \left[ -\frac{db_2}{dx} + \frac{\theta (\rho_1 / \rho_2) \{\eta (\rho_2 - \rho_1)^2 + U_2^2\}}{\rho_2 (1 - \rho_2^2)} \right], \quad \frac{dU_2}{dx} = \frac{\theta (\rho_1 / \rho_2) \{\eta (\rho_2 - \rho_1)^2 + 1\}}{b_2 (1 - \rho_2^2)} \\ U_1 &= U_1 / \sqrt{\alpha} \quad U_2 = U_2 / \sqrt{\alpha} \quad \theta = \beta / \sqrt{\alpha} \end{aligned} \right\} \quad (4)$$

式(4)を初期条件  $\rho_i(0)$ ,  $U_i(0)$  に対してとけば断面  $x$  における  $\rho_i$ ,  $U_i$  が得られる。しかし、式(4)を  $\rho_{12} = 0$ ,  $\bar{v} = 0$ ,  $b_i = \text{constant}$  (すなわち单路部として) 解析的にとくと  $\rho$  と  $U$  の関係、 $\bar{v} = -\ln(\rho / \rho_0)$  が得られるので、これを用いて初期条件  $\rho_i(0)$  のみで式(4)をとくことができる。このとき反応臨界速度を示し、 $\bar{v}$  は臨界速度との相対速度を示すことが明らかになった。実際の計算では、定数  $\theta$ ,  $\eta$  にいくつかの値を与えて計算するわけであるが、結果よりこれらの定数の性質についていえることは、 $\eta$  は大きく変えて結果にあまり影響を及ぼさず、 $\theta$  の方は、結果を大きく変化させることである。これは式の形からも予想されたことであった。反応は一定なので  $\bar{v}$  は  $\beta$  と同じ意味ともっと考えられる。すなわち、 $\rho_{12}$  の式の形と定数の値によって、このモデルがどの程度現象を説明しうるかということが決まるといつても過言ではないだろう。本モデルでは  $\theta$  を 0.5,  $\eta$  を 0.01 とおいて一応満足のいく結果を得ている。

つぎに 壓力の式における  $\rho$  の値について考える。 $\eta = 1$  の場合と  $\eta = 2$  の場合のモデルについて比較すると、 $\eta = 1$  の場合には、上述のような初期条件としての  $\rho$  と  $U$  の関係が得られ、 $\eta = 2$  の場合には、 $\bar{v} = -2(\rho_1^{1/2} - \rho_2^{1/2})$  という関係が得られる。それぞれの場合の臨界密度は、 $\eta = 1$  が  $\rho_0 \bar{v}^{-1}$ ,  $\eta = 2$  が  $\frac{4}{9} \rho_0 \bar{v}$  となる。また 2 の場合の  $\bar{v}$  は臨界速度との相対速度を示さない。式の複雑化、 $\bar{v}$  の意味などを考えると、 $\eta = 1$  の場合の圧力の式を用いる方が適當と思われる。

初期密度の考え方については、2 の車線の初期密度  $\rho_2(0)$  が小されば、1 の車線の  $\rho_1(0)$  がかなり大きくなってしまっても満足のいく結果が得られるが、 $\rho_2(0)$  が大きいと  $\rho_1(0)$  が小さくてもよい結果が得られなかった。この初期条件については、合流部の性質を本元でいふように表わすかという重要なことであり、講演時にさらに詳しく述べるつもりである。

参考文献 1) 明神 証：都市高速道路の交通管制手法に関する研究 京大博士論文 48年6月  
2) 多田英司：高速道路合流部における交通流モデルに関する研究 京大修士論文 50年3月